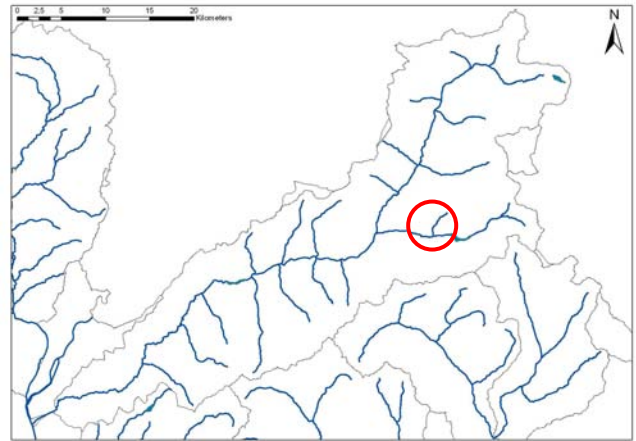
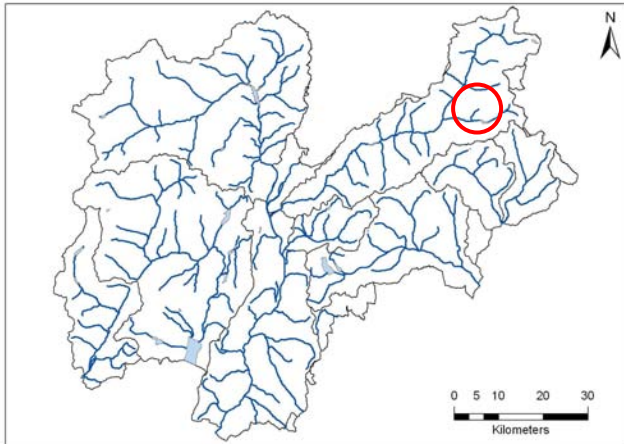


# Rio Vallaccia



Codice RASTA	Area bacino (Kmq)	Lunghezza totale (Km)
A153A20010	60,5	3,6

**Tabella 1: Punteggio, livello, giudizio IFF reale e relativo**

Descrizione tratto						IFF reale			IFF relativo			
Codice	Data	L (m)	Inizio tratto	Fine tratto	Sp	Punt	Liv	Giud	CatFI	Punt FP	Frel (%)	Frel giud
VALC001d	14-set-11	137	Confluenza Travignolo	Inizio prati in destra	dx	184	II-III	buono-mediocre	FRsv	204	90,2%	ottimo
VALC001s					sx	184	II-III	buono-mediocre	FRsv	204	90,2%	ottimo
VALC002d	14-set-11	273	Inizio prati in destra	Fine prati in destra	dx	221	II	buono	MT	256	86,3%	ottimo-buono
VALC002s					sx	226	II	buono	MT	256	88,3%	ottimo
VALC003d	14-set-11	342	Fine prati in destra	Inizio Bellamonte	dx	226	II	buono	MT	256	88,3%	ottimo
VALC003s					sx	226	II	buono	MT	256	88,3%	ottimo
VALC004d	14-set-11	406	Inizio Bellamonte	Fine Bellamonte	dx	206	II	buono	MT	256	80,5%	buono
VALC004s					sx	226	II	buono	MT	256	88,3%	ottimo
VALC005d	14-set-11	334	Fine Bellamonte	Strada vicina in destra	dx	216	II	buono	MT	256	84,4%	ottimo-buono
VALC005s					sx	221	II	buono	MT	256	86,3%	ottimo-buono
VALC006d	14-set-11	790	Strada vicina in destra	Opera di presa	dx	188	II-III	buono-mediocre	MT	256	73,4%	buono
VALC006s					sx	226	II	buono	MT	256	88,3%	ottimo
VALC007d	14-set-11	237	Opera di presa	Strada lontana in destra	dx	216	II	buono	MT	256	84,4%	ottimo-buono
VALC007s					sx	236	II	buono	MT	256	92,2%	ottimo
VALC008d	14-set-11	1044	Strada lontana in destra	Fine rilevamento (1800 m slm)	dx	236	II	buono	MT	256	92,2%	ottimo
VALC008s					sx	236	II	buono	MT	256	92,2%	ottimo

## Mappe di funzionalità fluviale reale e relativa

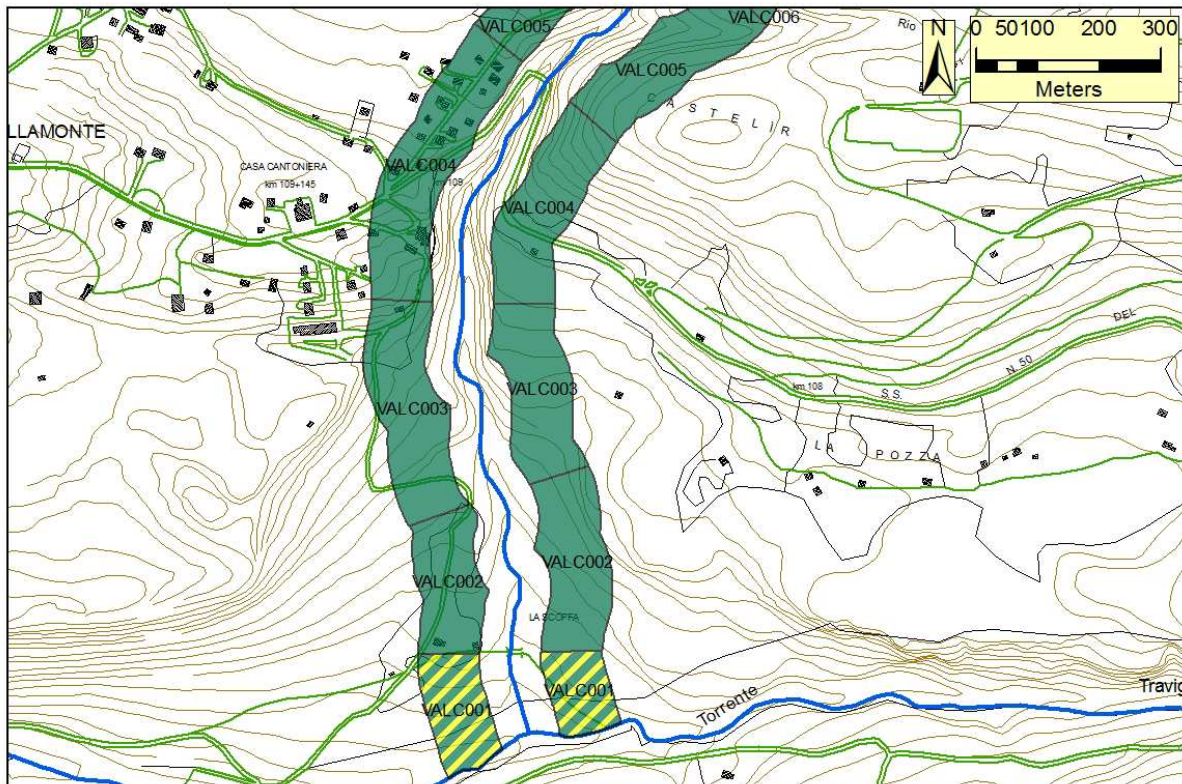


Figura 1a: Cartografia dei risultati IFF reale

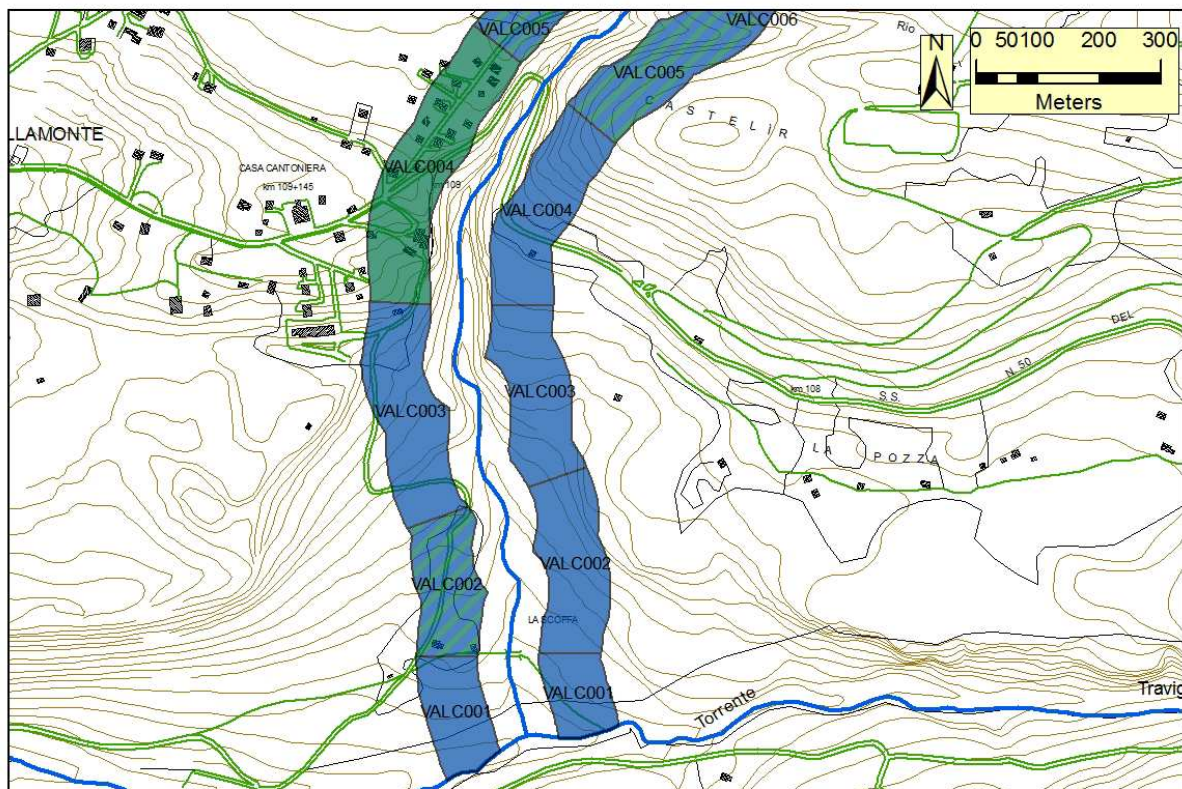


Figura 1b: Cartografia dei risultati IFF relativo





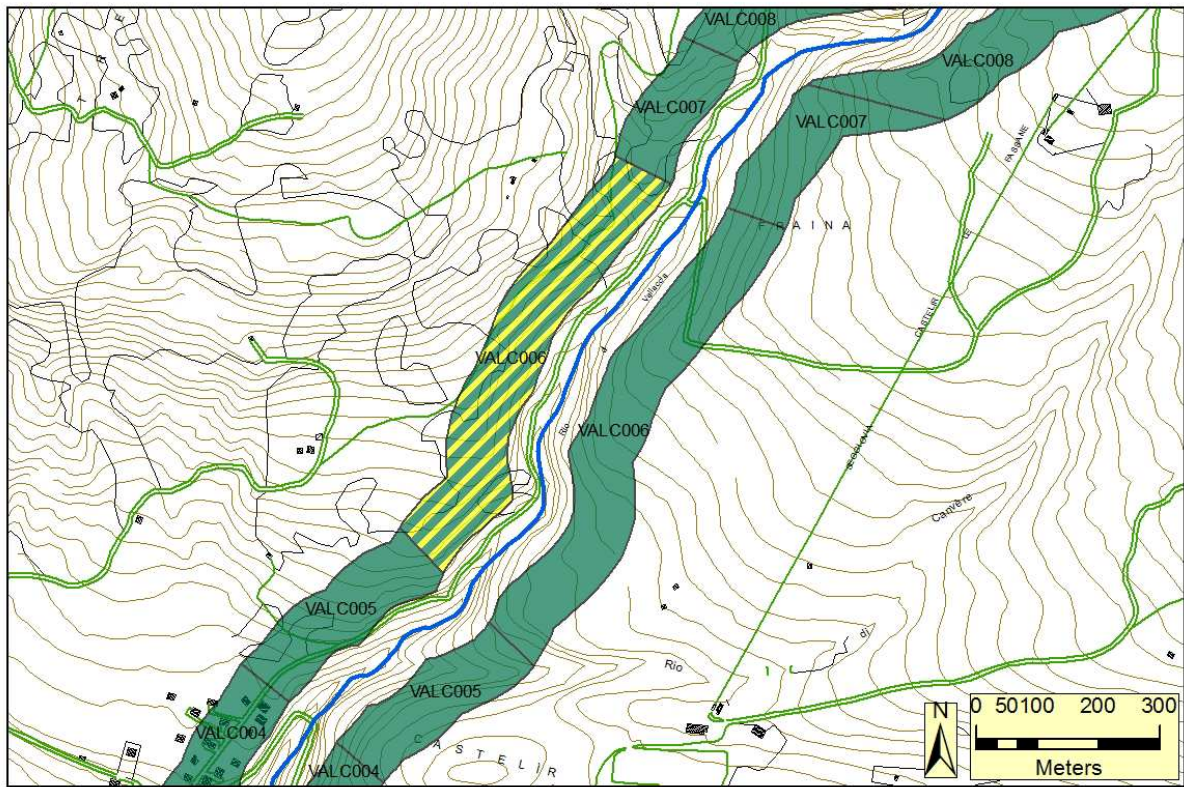


Figura 2a: Cartografia dei risultati IFF reale

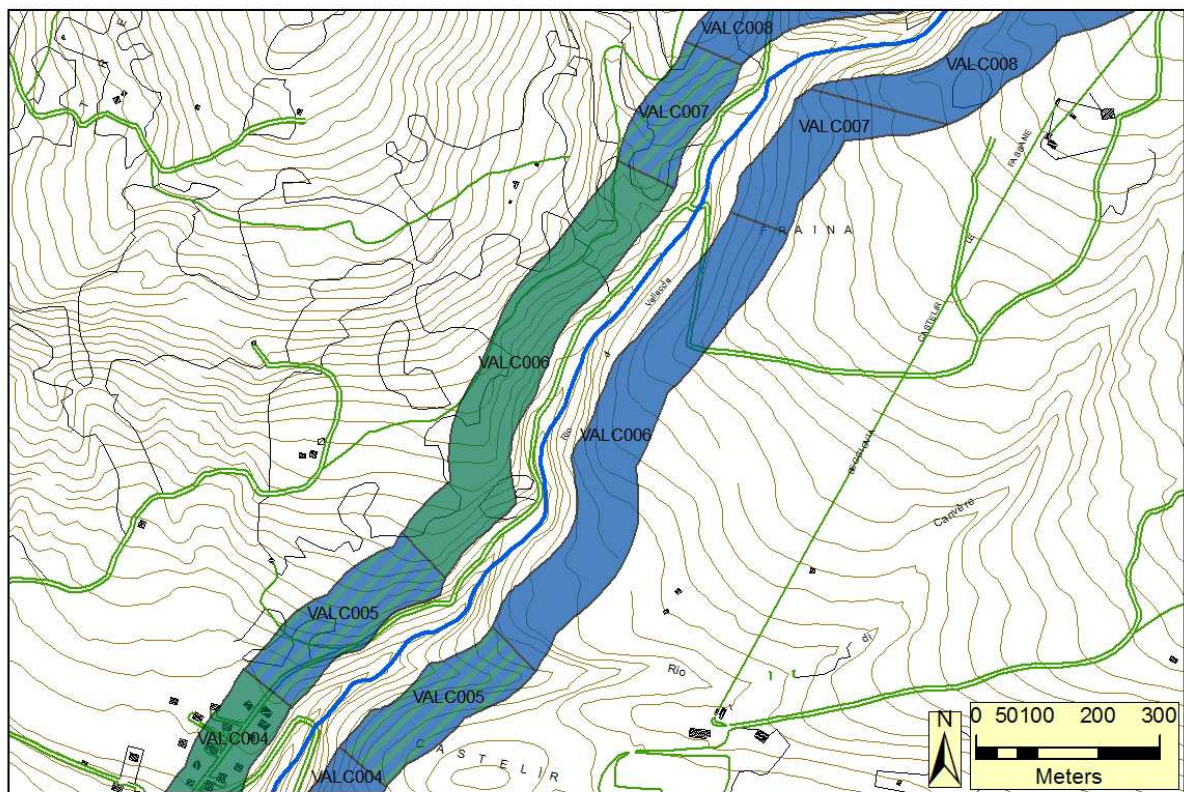


Figura 2b: Cartografia dei risultati IFF relativo





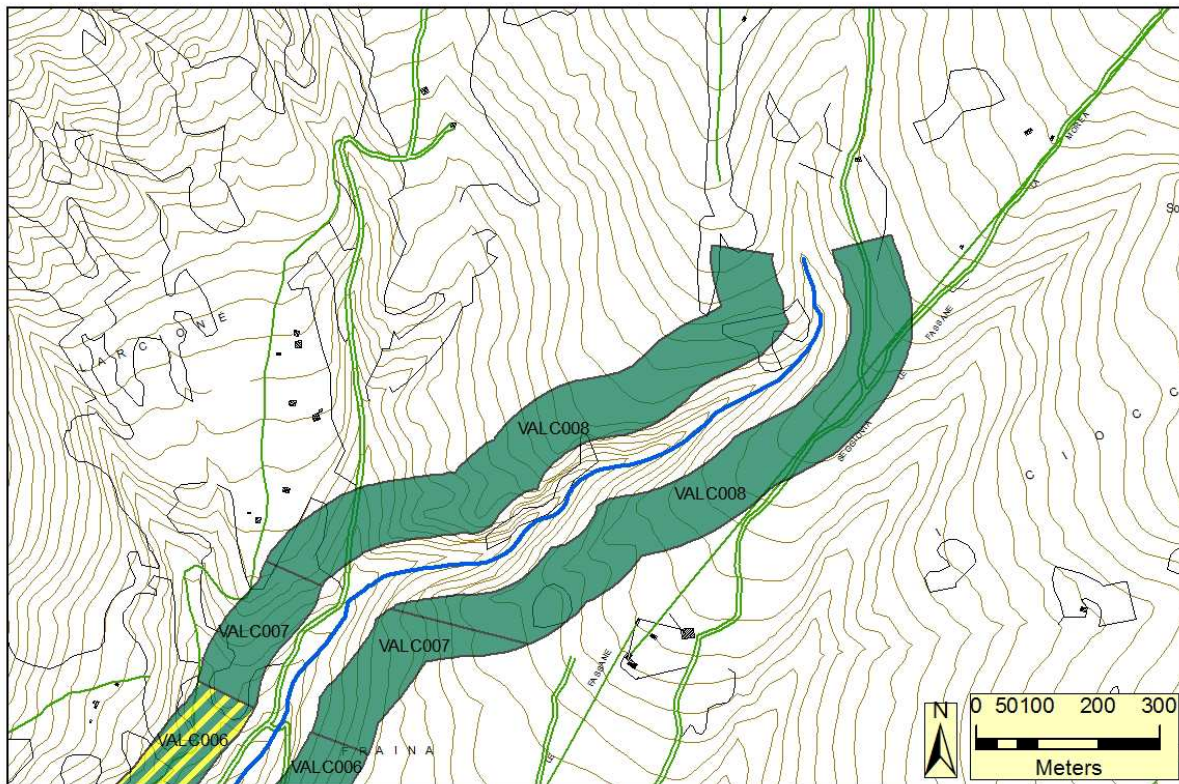


Figura 3a: Cartografia dei risultati IFF reale

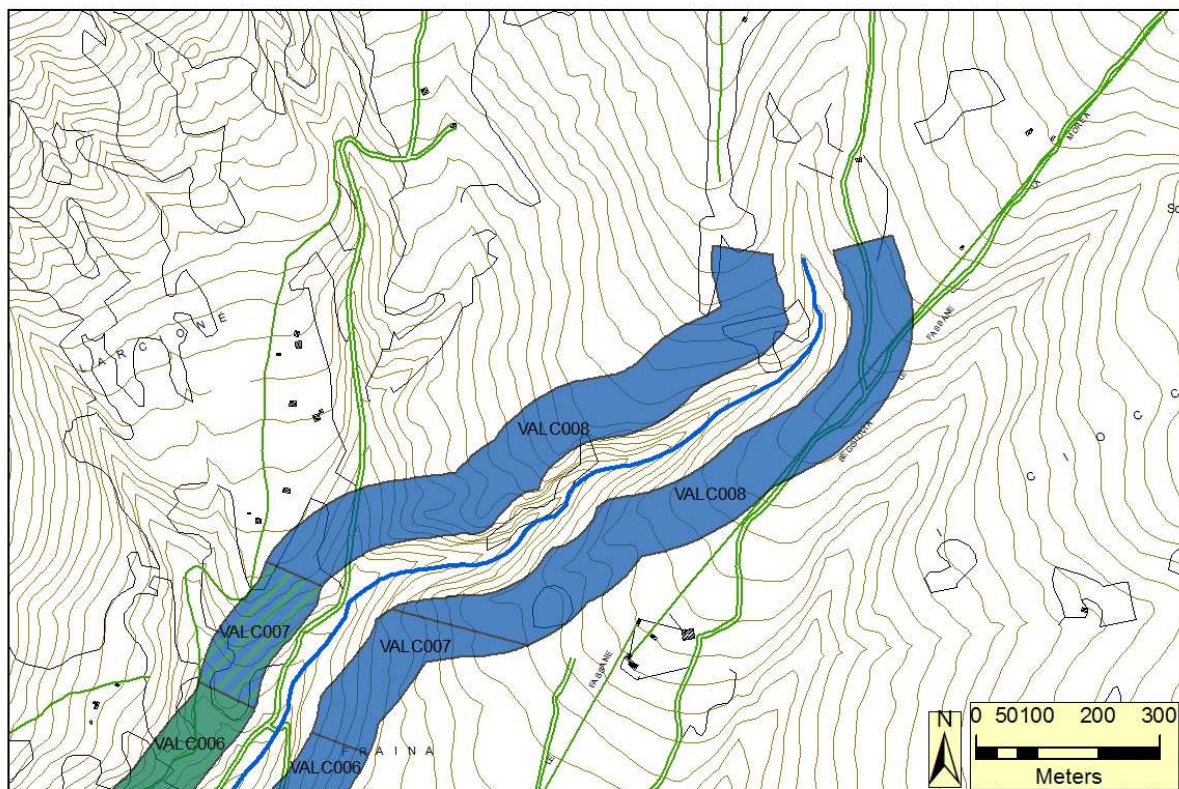


Figura 3b: Cartografia dei risultati IFF relativo





## Documentazione fotografica e commento ai tratti

### VALC001

VALC001	1	2	2b	3	4	5	6	7	8	9	10	11	12	13	14	IFF	
	TER	VP1	VP2	AMP	CON	CID	ESO	RIT	ERO	SEZ	ITT	IDR	CVA	DET	MBT	Punteggio	Livello
Dx	25	1		1	1	10	1	25	20	15	25	15	10	15	20	184	II-III
Sx	25	1		1	1	10	1	25	20	15	25	15	10	15	20	184	II-III
Confluenza t. Travignolo - inizio prati in destra; lungh: 137 m																	



Il primo tratto del rio Vallaccia scorre in una forra dalle pareti nude e molto ravvicinate tra loro, pertanto la sezione trasversale risulta poco diversificata. Inoltre essendo il tratto naturalmente confinato non esiste nessuna possibilità di espansione laterale. Il substrato dell'alveo è ben strutturato garantendo una elevata capacità di ritenzione degli apporti trofici. Le condizioni idriche risentono dei prelievi che vengono effettuati a monte. L'andamento idromorfologico è di tipo step&pool. È stata osservata una discreta presenza di periphyton mentre le altre due componenti biologiche (il detrito e la comunità macrobentonica) non mostrano segni di alterazione.

## VALC002

VALC002	1	2	2b	3	4	5	6	7	8	9	10	11	12	13	14	IFF	Livello
	TER	VP1	VP2	AMP	CON	CID	ESO	RIT	ERO	SEZ	ITT	IDR	CVA	DET	MBT	Punteggio	
Dx	20	10		15	15	10	1	25	20	20	25	15	10	15	20	221	II
Sx	25	10		15	15	10	1	25	20	20	25	15	10	15	20	226	II

Inizio prati in destra – fine prati in destra; lungh: 273m



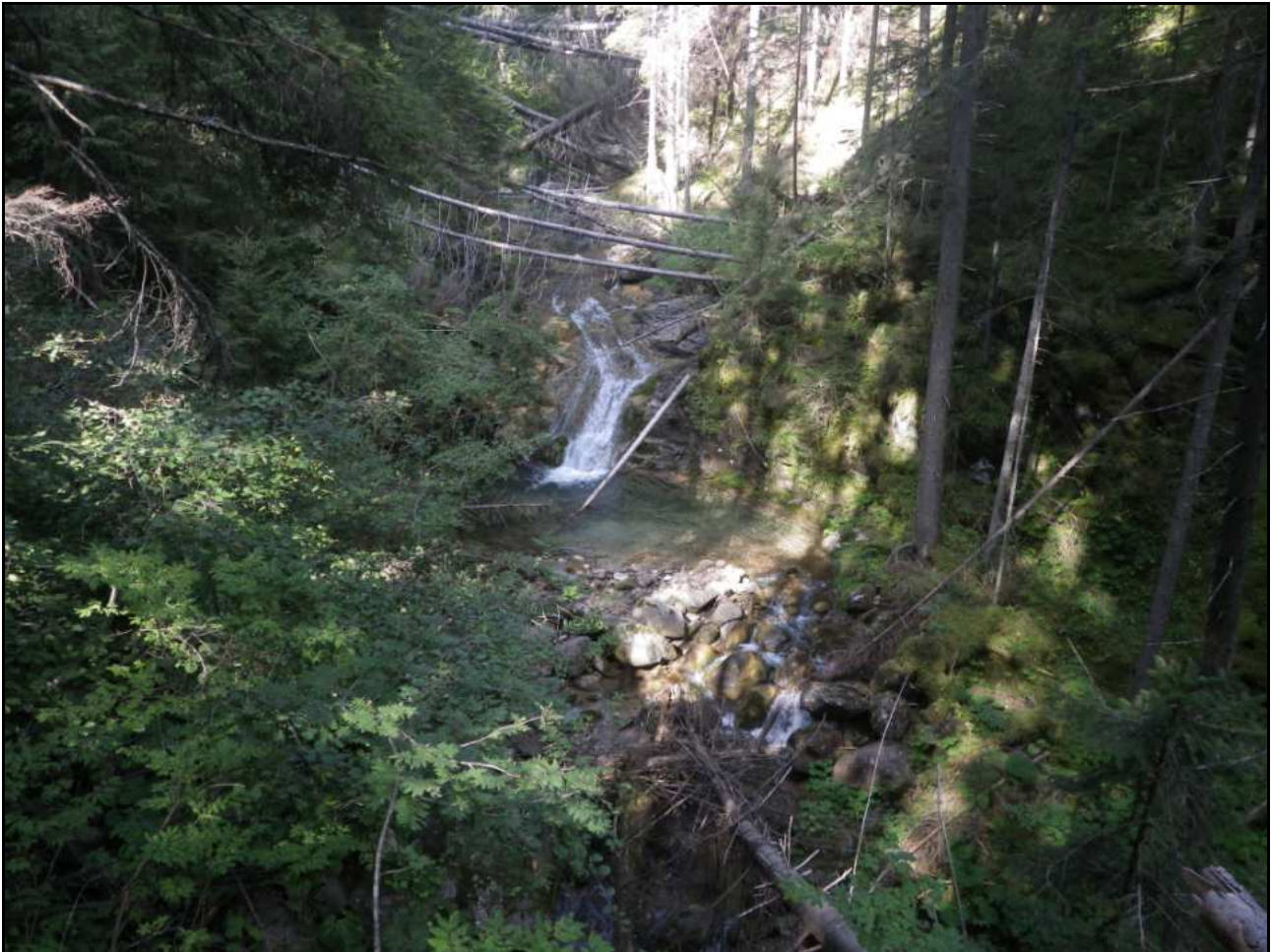
Il territorio circostante in destra è dominato da prati regolarmente sfalciati, mentre in sinistra è presente un esteso bosco di abeti. La vegetazione perifluviale delle due sponde è composta da una bordura di specie riparie (con diverse specie di salici) seguita dalla formazione arborea autoctona non riparia (con abeti rossi). L'ampiezza cumulativa delle due tipologie di vegetazione è maggiore di 30 m e non sono presenti interruzioni. L'erosione è assente e la sezione trasversale è integra. L'idoneità ittica è elevata e l'idromorfologia è step&pool, tipico andamento dei torrenti montani. Il comparto biologico continua a mostrare segni di alterazione solo per quanto riguarda la componente peritifita.



## VALC003

VALC003	1	2	2b	3	4	5	6	7	8	9	10	11	12	13	14	IFF	Livello
	TER	VP1	VP2	AMP	CON	CID	ESO	RIT	ERO	SEZ	ITT	IDR	CVA	DET	MBT	Punteggio	
Dx	25	10		15	15	10	1	25	20	20	25	15	10	15	20	226	II
Sx	25	10		15	15	10	1	25	20	20	25	15	10	15	20	226	II

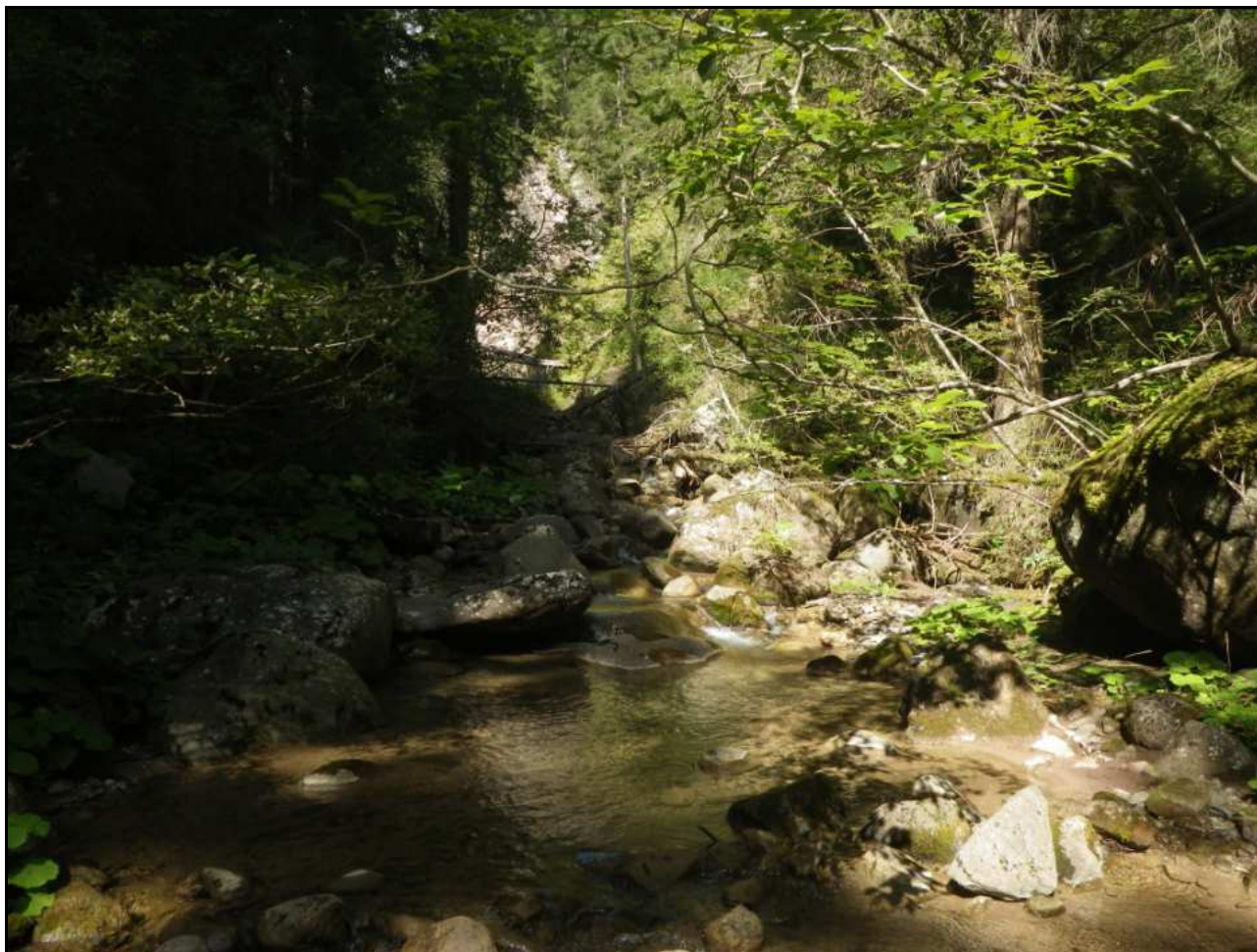
Fine prati in destra – inizio Bellamonte; lungh: 342 m



Il territorio circostante di entrambe le sponde è dominato dal bosco di conifere. La vegetazione perifluviale, sia destra che sinistra, è composta solo da una formazione arborea autoctona non riparia (in larga misura composta da abeti rossi). L'ampiezza è maggiore di 30 m e non sono presenti interruzioni. Il substrato dell'alveo è composto da substrati diversificati, con massi e tronchi, che fungono da ottime strutture di ritenzione degli apporti trofici. Non si osservano ulteriori differenze con quanto già osservato anche per i tratti precedenti.

## VALC004

VALC004	1	2	2b	3	4	5	6	7	8	9	10	11	12	13	14	IFF	
	TER	VP1	VP2	AMP	CON	CID	ESO	RIT	ERO	SEZ	ITT	IDR	CVA	DET	MBT	Punteggio	Livello
Dx	5	10		15	15	10	1	25	20	20	25	15	10	15	20	206	II
Sx	25	10		15	15	10	1	25	20	20	25	15	10	15	20	226	II
Inizio Bellamonte – fine Bellamonte; lung: 406 m																	



In destra idrografica è presente l'abitato di Bellamonte. La vegetazione perifluviale delle due sponde è composta da una bordura di specie riparie (con diverse specie di salici) seguita dalla formazione arborea autoctona non riparia (con abeti rossi). L'ampiezza cumulativa delle due tipologie di vegetazione è maggiore di 30 m e non sono presenti interruzioni. L'erosione è assente e la sezione trasversale è integra. L'idoneità ittica è elevata e l'idromorfologia è step&pool, tipico andamento dei torrenti montani. Il comparto biologico continua a mostrare segni di alterazione solo per quanto riguarda la componente perifitica.



## VALC005

VALC005	1	2	2b	3	4	5	6	7	8	9	10	11	12	13	14	IFF	Livello
	TER	VP1	VP2	AMP	CON	CID	ESO	RIT	ERO	SEZ	ITT	IDR	CVA	DET	MBT	Punteggio	
Dx	20	10		15	10	10	1	25	20	20	20	15	15	15	20	216	II
Sx	25	10		15	10	10	1	25	20	20	20	15	15	15	20	221	II

Fine Bellamonte – strada vicina in destra; lungh: 334 m



Il territorio circostante in destra è dominato da prati regolarmente sfalciati, mentre in sinistra è presente un esteso bosco di abeti. La vegetazione perifluviale, sia destra che sinistra, è composta solo da una formazione arborea autoctona non riparia (in larga misura composta da abeti rossi). L'ampiezza è maggiore di 30 m e sono presenti modeste interruzioni causate dall'assenza di vegetazione nei punti in cui l'acclività dei versanti non ne permette la crescita. L'idoneità ittica diventa buona a causa di salti naturali che ostacolano la risalita contro corrente dei pesci. Da questo tratto in poi il periphyton non forma più la patina tridimensionale osservata nei tratti precedenti.



## VALC006

VALC006	1	2	2b	3	4	5	6	7	8	9	10	11	12	13	14	IFF	Livello
	TER	VP1	VP2	AMP	CON	CID	ESO	RIT	ERO	SEZ	ITT	IDR	CVA	DET	MBT	Punteggio	
Dx	20	1		1	5	10	1	25	20	20	20	15	15	15	20	188	II-III
Sx	25	10		15	15	10	1	25	20	20	20	15	15	15	20	226	II
Strada vicina in destra – opera di presa; lungh: 790 m																	



In questo tratto la strada forestale che corre lungo la sponda destra ha limitato lo sviluppo e la crescita di una vegetazione funzionale. In questa sponda infatti è stata individuata solo una bordura di arbusti autoctoni non ripari. In sinistra invece è presente la formazione arborea autoctona non riparia, di ampiezza maggiore di 30 metri e continua. Non si osservano ulteriori differenze con quanto già osservato anche per il tratto precedente.



## VALC007

VALC007	1	2	2b	3	4	5	6	7	8	9	10	11	12	13	14	IFF	Livello
	TER	VP1	VP2	AMP	CON	CID	ESO	RIT	ERO	SEZ	ITT	IDR	CVA	DET	MBT	Punteggio	
Dx	20	10		5	10	20	1	25	20	20	20	15	15	15	20	216	II
Sx	25	10		15	15	20	1	25	20	20	20	15	15	15	20	236	II
Opera di presa – strada lontana in destra; lungh: 237 m																	



Il tratto in esame inizia con la fine dall'opera di presa fino al punto in cui la strada forestale in destra si allontana di molto dal torrente. La vegetazione perfluviale della sponda destra è composta da una bordura di arbusti ripari (saliconi), di ampiezza compresa tra i 2 e i 5 m e con delle interruzioni. In sinistra invece è stata osservata la formazione arborea autoctona non riparia, di ampiezza maggiore di 30 metri e continua. Da questo tratto in poi il torrente ha portate stabili, con fluttuazioni stagionali non estreme. L'opera di presa posta all'inizio del tratto rappresenta un ostacolo insormontabile per l'ittiofauna.



## VALC008

VALC008	1	2	2b	3	4	5	6	7	8	9	10	11	12	13	14	IFF	Livello
	TER	VP1	VP2	AMP	CON	CID	ESO	RIT	ERO	SEZ	ITT	IDR	CVA	DET	MBT	Punteggio	
Dx	25	10		15	10	20	1	25	20	20	25	15	15	15	20	236	II
Sx	20	10		15	15	20	1	25	20	20	25	15	15	15	20	236	II

Strada lontana in destra – fine filamento (1800 ms.l.m.); lungh: 1044 m



Il VALC008 è l'ultimo tratto rilevato che si spinge fino alla quota di 1800 m s.l.m. In sinistra le piste da sci riducono il punteggio assegnato alla domanda sul territorio circostante. La vegetazione perifluviale, sia destra che sinistra, è composta solo da una formazione arborea autoctona non riparia (in larga misura composta da abeti rossi). L'ampiezza è maggiore di 30 metri e solo in destra sono presenti modeste interruzioni causate da alcuni punti in cui il versante è franato. La comunità macrobentonica campionata è diversificata e composta da taxa molto sensibili all'inquinamento, come i Plecotteri Nemouridae e gli Efeemerotteri Heptageniidae.



## Commento dei risultati IFF

La somma delle lunghezze dei tratti rilevati è di 3562 m.

Questo corso d'acqua ottiene in generale un giudizio di funzionalità reale che per la sua grande maggioranza è buono. Rimane solo un tratto penalizzato dalla presenza di una strada in sponda destra che penalizza lo sviluppo della fascia riparia. La zona di confluenza con il Torrente Travignolo è caratterizzato dalla presenza di una forra con assenza di vegetazione.

Funzionalità reale	Lungh. Tot Dx (m)	% Dx	Lungh. Tot Sx (m)	% Sx
ottimo	0	0%	0	0%
ottimo-buono	0	0%	0	0%
buono	2635	74%	3425	96%
buono-mediocre	927	26%	137	4%
mediocre	0	0%	0	0%
mediocre-scadente	0	0%	0	0%
scadente	0	0%	0	0%
scadente-pessimo	0	0%	0	0%
pessimo	0	0%	0	0%

Tabella 2: Percentuale dei giudizi di funzionalità reale in relazione alla lunghezza del corso d'acqua

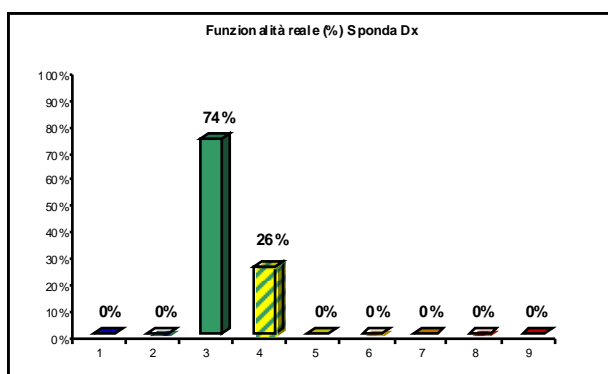


Figura 4a: Grafici della distribuzione percentuale dei giudizi di funzionalità reale per la sponda destra

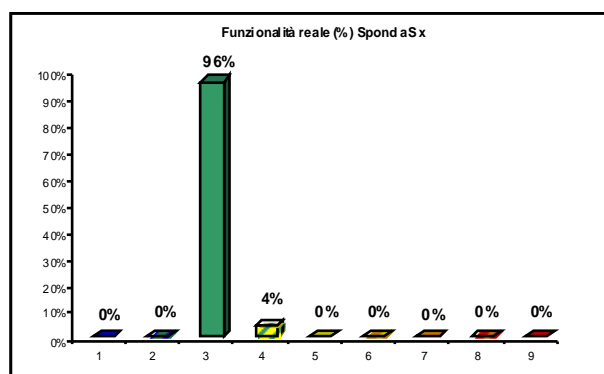


Figura 4b: Grafici della distribuzione percentuale dei giudizi di funzionalità reale per la sponda sinistra



Il calcolo della funzionalità relativa evidenzia come da un punto di vista ecosistemico il rio Vallaccia si avvicina a condizioni di massima funzionalità. Questo è particolarmente evidente nella sponda sinistra che ricade per il 91%. Interessante pare evidenziare come il corso d'acqua ottenga una funzionalità ottima anche per il tratto di confluenza con il Travignolo dove comunque la naturalità della forra esprima il suo massimo potenziale.

Funzionalità relativa	Lungh. Tot Dx (m)	% Dx	Lungh. Tot Sx (m)	% Sx
ottimo	1522	43%	3091	87%
ottimo-buono	844	24%	334	9%
buono	1196	34%	137	4%
buono-mediocre	0	0%	0	9%
mediocre	0	0%	0	0%
mediocre-scadente	0	0%	0	0%
scadente	0	0%	0	0%
scadente-pessimo	0	0%	0	0%
pessimo	0	0%	0	0%

Tabella 3: Percentuale dei giudizi di funzionalità relativa in relazione alla lunghezza del corso d'acqua

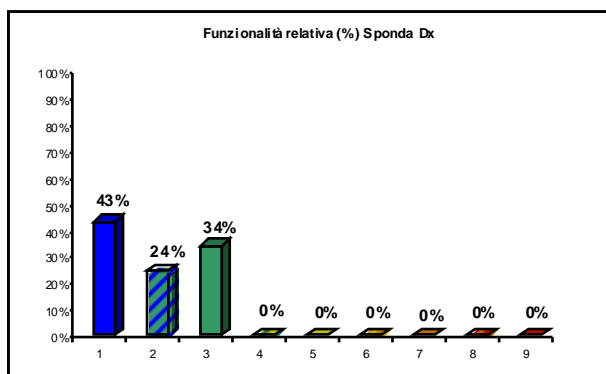


Figura 5a: Grafici della distribuzione percentuale dei giudizi di funzionalità relativa per la sponda destra

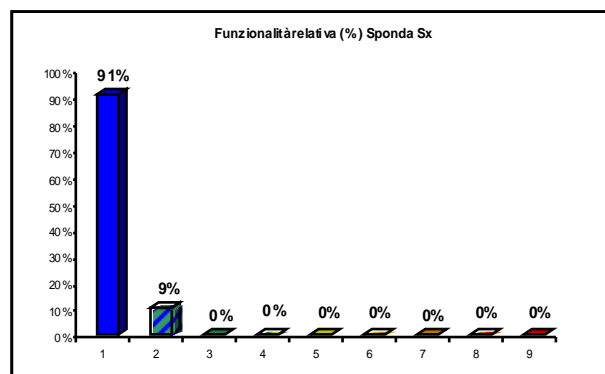


Figura 5b: Grafici della distribuzione percentuale dei giudizi di funzionalità relativa per la sponda sinistra